

بررسی تغییرات ابعادی فریم ورک‌های زیرکونیایی بربیج سه واحدی ایمپلنتی در طی مراحل ساخت (از اسکن تا سینترب)

- دکتر مرضیه علی خاصی^۱- دکتر نرگس عامری^{۲*}- دکتر حکیمه سیادت^۱- دکتر احمد رضا شمشیری^۳- مهندس محمد رضا نجاتی^۴
- ۱- دانشیار گروه آموزشی پروتزهای دندانی، دانشکده دندانپزشکی، دانشگاه علوم پزشکی و خدمات بهداشتی، درمانی تهران، تهران، ایران؛ عضو مرکز تحقیقات دندانپزشکی، پژوهشکده علوم دندانپزشکی، دانشگاه علوم پزشکی و خدمات بهداشتی درمانی تهران، تهران، ایران
- ۲- استادیار گروه آموزشی پروتزهای دندانی، پردیس بین الملل دانشکده دندانپزشکی، دانشگاه علوم پزشکی و خدمات بهداشتی، درمانی تهران، تهران، ایران
- ۳- استادیار گروه آموزشی ایدمیولوژی و آمل، دانشکده بهداشت، دانشگاه علوم پزشکی و خدمات بهداشتی، درمانی تهران، تهران، ایران
- ۴- آزمایشگاه نانوروباتیک، دانشکده مهندسی مکانیک، دانشگاه صنعتی شریف، تهران، ایران

Dimensional changes of three-unit implant-supported zirconia frameworks from scanning to sintering

Marzieh Alikhasi¹, Narges Ameri^{2†}, Hakimeh Siadat¹, Ahmad Reza Shamshiri³, Mohammadreza Nejati⁴

1- Associate Professor, Department of Prosthodontics, School of Dentistry, Tehran University of Medical Sciences, Tehran, Iran; Member of Dental Research Center, Dentistry Research Institute, Tehran University of Medical Sciences, Tehran, Iran

2[†]- Assistant Professor, Department of Prosthodontics, School of Dentistry, International Campus, Tehran University of Medical Sciences, Tehran, Iran (narges_ameri@yahoo.com)

3- Assistant Professor, Department of Epidemiology and Statistics, School of Public Health, Tehran University of Medical Sciences, Tehran, Iran

4- Nano Robotics Laboratory, Department of Mechanical Engineering, Sharif University of Technology, Tehran, Iran

Background and Aims: Passive fitness of implant frameworks are important factors for long-term success of dental implant restorations. The aim of this in vitro study was to evaluate the dimensional changes of implant supported zirconia frameworks fabricated by Zirkonzahn CAD/CAM system during fabrication stages.

Materials and Methods: The master model of 3-unit FDP was made of two implant abutments. The master model was scanned 12 times and data were saved as STL files (scanning groups). Using semi-sintered zirconia, 12 real-size frameworks (milling groups) and 12 enlarged frameworks which were then sintered (sintering group) were made in this system. Dimensions of master model and specimens of each stage were measured. The dimensional changes in respect to master model were calculated. Data were analyzed using Repeated measures ANOVA, independent *t*-test, and paired sample *t*-test at $\alpha=0.05$ of significance.

Results: The milling stage showed greater dimensional changes comparing to the other stages ($P<0.05$). At all stages, the dimensional changes of premolar abutment height were greater than canine ($P<0.001$).

Conclusion: Within the limitations of this study, the results suggested that the fabrication stages and size of abutments had significant effects on the dimensional changes of zirconia frameworks.

Key Words: Zirconia, Internal adaptations, CAD-CAM

Journal of Dental Medicine-Tehran University of Medical Sciences 2019;32(1):22-28

† مؤلف مسئول: تهران- خانی آبادنو- شهرک شریعتی- خیابان ماهان- دانشکده دندانپزشکی- پردیس بین الملل گروه آموزشی پروتزهای دندانی
تلفن: ۰۵۵۸۵۱۱۳۱ نشانی الکترونیک: narges_ameri@yahoo.com

چکیده

زمینه و هدف: خطاهایی که در هر یک از مراحل ساخت فریم ورک زیرکونیایی ایجاد می‌شود، ممکن است باعث از بین رفتن تطابق رستوریشن نهایی گردد. هدف از این مطالعه بررسی تغییرات ابعادی فریم ورک‌های زیرکونیایی بریج سه واحدی متکی بر ایمپلنت، در طی مراحل مختلف ساخت توسعه سیستم Zirkonzahn، CAD/CAM بود.

روش بررسی: مدل اصلی با مانت کردن دو ابامنت ایمپلنتی به عنوان پایه‌های بریج سه واحدی (کائین تا پره مولر دوم ماسکریلا) ساخته شد. توسط اسکنر Zirkonzahn مدل اصلی ۱۲ بار اسکن شده و ۱۲ فریم ورک در اندازه مدل اصلی تراشیده شد (نمونه‌های تراش) و ۱۲ فریم ورک با احتساب میزان انقباض در ابعاد بزرگتر تراشیده و سپس سیتر شد تا به ابعاد مدل اصلی برسد (نمونه‌های سیتر). ابعاد مدل اصلی و فریم ورک‌های مرحله تراش و سیتر در مناطق مخصوصی توسعه دستگاه (Video Measuring System) VMS (Video Measuring System) اندازه‌گیری شد. همچنین این ابعاد در داده‌های اسکن توسعه نرم افزار CATIA اندازه‌گیری شد. اختلاف ابعاد در هر یک از مراحل ساخت نسبت به مدل اصلی محاسبه شد. تأثیر دو فاکتور (مرحله ساخت و اندازه ابامنت) بر میزان تغییرات ابعادی فریم ورک‌ها توسعه Two-Way ANOVA ارزیابی شد. در صورت وجود Interaction بین فاکتورها، از Paired t test (ابامنت) و Repeated measures (مراحل) استفاده شد. حد معنی داری آماری $0.05 < P < 0.1$ در نظر گرفته شد.

یافته‌ها: طبق نتایج به دست آمده از مطالعه حاضر، در تمام ابعاد، تغییرات در مرحله تراش بیشتر از دو مرحله دیگر بوده است. همچنین در تمام مراحل، تغییرات ارتفاع پره مولر نسبت به کائین بیشتر بود ($P < 0.01$).

نتیجه‌گیری: با وجود محدودیت‌های این مطالعه به نظر می‌رسد، مراحل ساخت و نیز اندازه ابامنت بر میزان تغییرات ابعادی فریم ورک‌های زیرکونیایی تأثیرگذار می‌باشند.

کلید واژه‌ها: زیرکونیا، تطابق داخلی، CAD-CAM

وصول: ۹۷/۰۸/۲۵ اصلاح نهایی: ۹۸/۰۳/۰۳ تأیید چاپ: ۹۸/۰۳/۱۱

مقدمه

داده‌های هندسی جمع آوری شده، محاسبه پارامترهای تراش، روند تراش و نیز انقباض زیرکونیا در طی سیتر شدن می‌باشد (۷). از آنجا که این عوامل بین سیستم‌های مختلف CAD/CAM متفاوت می‌باشد، باید توجه داشت که تغییرات ابعادی و دقت مارژینال رستوریشن‌های زیرکونیایی، ممکن است تحت تأثیر سیستمی که رستوریشن توسعه آن ساخته می‌شود قرار بگیرد (۸). در نتیجه عدم تطابق فریم ورک پروتزی مناسب بین رستوریشن و ایمپلنت امکان ایجاد مشکلات متعددی از جمله مشکلات مکانیکی و بیولوژیکی مثل شکستن فریم ورک یا پرسلن، شل شدن یا شکستن پیچ و تحلیل استخوان وجود دارد (۳،۴،۵).

با وجود اینکه مطالعات زیادی دقت نهایی فریم ورک‌های زیرکونیایی ساخته شده توسعه دستگاه‌های مختلف CAD/CAM را مقایسه نموده‌اند، در این مطالعات خطاهای هر یک از مراحل ساخت (اسکن، تراش و سیتر) به تفکیک بررسی نشده و مشخص نشده است که در هر سیستم، بیشترین میزان خطا در کدام یک از مراحل ساخت اتفاق می‌افتد (۹-۱۴). هدف از این مطالعه بررسی تغییرات ابعادی فریم ورک‌های زیرکونیایی بریج سه واحدی متکی بر ایمپلنت، در طی مراحل مختلف ساخت در سیستم Zirkonzahn CAD/CAM

آخرًا فریم ورک‌های زیرکونیایی به عنوان یک جایگزین زیبا به جای فریم ورک‌های فلزی ایمپلنت معرفی شده‌اند. زیرا این مواد زیبا، زیست‌سازگار، با احتمال تجمع پلاک میکروبی کمتر، از نظر شیمیایی با دوام و دارای خواص مکانیکی عالی هستند (۱) و بنابراین می‌توانند مشکلات مربوط به کروزن و زیبایی پائین آلاینده‌های فلزی را برطرف نمایند (۲). این مزایا باعث افزایش چشمگیر استفاده از زیرکونیا به عنوان فریم ورک برای پروتزهای متکی بر ایمپلنت شده است (۳).

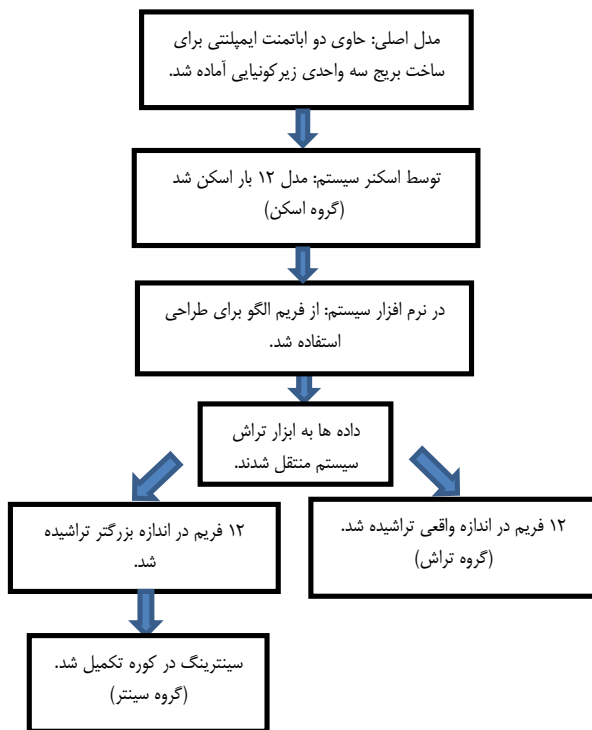
از آنجا که به علت نبود الیاف پریودونتال، اتصال بین ایمپلنت استئواینتگره شده با استخوان اطراف نسبت به دندان طبیعی بسیار سخت‌تر (rigid) است (۴)، تطابق غیرفال (passive fit) در رستوریشن‌های متکی بر ایمپلنت از رستوریشن‌های متکی بر دندان مهمتر بوده (۵) و به عنوان عاملی مهم در موقعیت طولانی مدت استئواینتگریشن (۶) و جلوگیری از مشکلات آینده مطرح می‌باشد (۷). معرفی تکنولوژی CAD/CAM امکان ساخت دقیق فریم ورک‌های زیرکونیایی را فراهم کرده است. اما در طول مراحل ساخت رستوریشن زیرکونیایی توسعه دستگاه CAD/CAM، عواملی مختلفی بر روی دقت آن اثر می‌گذارند که شامل اسکن کردن، پردازش

۱۲ فریم ورک در مرحله تراش و ۱۲ فریم ورک در مرحله سیتیر حاصل شد (شکل ۱ و جدول ۱). ابعاد مدل اصلی در مناطق خاصی اندازه‌گیری شده (ابعاد و فاصله ابتمنت‌ها) و به عنوان مرجع برای بررسی میزان تغییرات در طی مراحل ساخت در نظر گرفته شد (شکل ۲)، در فایل‌های اسکن، ابعاد مدل اصلی توسط نرم افزار CATIA اندازه‌گیری شد و تغییرات ابعاد نسبت به مدل اصلی محاسبه شد. این تغییرات بیانگر میزان خطاهای تراش تا مرحله اسکن در نظر گرفته شدند. ابعاد فریم ورک‌های مرحله تراش (فریم‌های سیتیر نشده) و همچنین فریم ورک‌های مرحله سیتیر نیز اندازه‌گیری شده و تغییرات آن‌ها نسبت به مدل اصلی محاسبه شد. بدین صورت میزان تغییرات ابعادی به ترتیب تا مرحله تراش (قبل از سینترینگ) و نیز تا مرحله سینترینگ (میزان خطای نهایی) به دست آمد (شکل ۳).

می‌باشد. تا به این ترتیب دقیق هر یک از مراحل ساخت فریم ورک توسط این سیستم مقایسه شده و دریابیم بیشترین مشکل عدم نشست فریم ورک‌های ساخته شده در این سیستم در کدام مرحله رخ می‌دهد.

روش بررسی

در این مطالعه دقیق هر یک از مراحل اسکن، تراش و سینترینگ سیستم Zirkonzahn در ساخت فریم ورک بریج سه واحدی زیرکونیایی ایمپلنتی مقایسه شده است. بدین منظور مدل اصلی حاوی دو عدد Dual Abutment (Implantium, Dentium, Seoul, Korea) ارتفاع لثه‌ای ۱/۵ میلی‌متر و اندازه‌های متفاوت به عنوان پایه‌های یک بریج سه واحدی ساخته شد؛ ابتمنت کائین دارای قطر ۴/۵ و ارتفاع ۵/۵ میلی‌متر و ابتمنت پره مولر دارای قطر ۵/۵ و ارتفاع ۴ میلی‌متر در نظر گرفته شد. به هر یک از ابتمنت‌ها آنالوگ‌های فیکسچر متصل شده و به طور موازی در بلوك الومینومی مانت شدند. برای اینکه ابتمنت‌ها پس از مانت نسبت به هم به موازی بوده و در ضمن فینیش لاین آن‌ها موازی سطح بلوك باشد، مانت با کمک سروپور انجام گرفت. مدل اصلی اسکن شده و اطلاعات آن، به صورت فایلی با فرمت STL (Standard Transformation Language) ذخیره شد (نمونه مرحله اسکن). اطلاعات این اسکن به نرم افزار منتقل شده و سطح خارجی فریم ورک (با کمک یک فریم الگو) طراحی شد. در قسمت تراش، با استفاده از بلوك زیرکونیایی نیمه سیتیر، یک فریم ورک در اندازه واقعی (اندازه مدل اصلی) تراشیده شد و بدون اینکه سیتیر شود در همین مرحله نگهداری شد (نمونه مرحله تراش). با استفاده از داده‌های همان اسکن، یک فریم ورک دیگر از زیرکونیایی نیمه سیتیر در اندازه بزرگتر (با احتساب ۲۰٪ میزان انقباض سینترینگ) تراشیده شده و پس از سیتیر شدن به اندازه مورد نظر (اندازه مدل اصلی) رسید (نمونه مرحله سیتیر). این مراحل ۱۲ بار تکرار شد و بدین ترتیب ۱۲ فایل STL حاوی اطلاعات اسکن مدل اصلی،



شکل ۱- خلاصه روش ساخت نمونه‌های هر گروه

جدول ۱- معرفی گروه‌های مطالعه

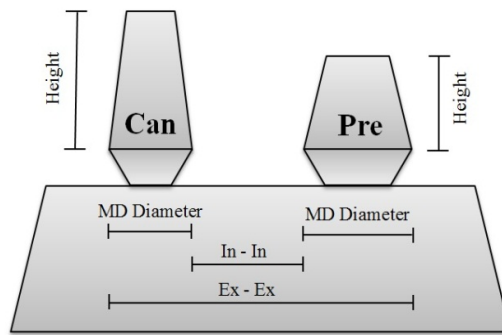
مرحله ساخت	مراحل انجام شده	تعداد نمونه
اسکن (Scanning)	اسکن	۱۲
تراش (Milling)	اسکن + تراش	۱۲
سیتیر (Sintering)	اسکن + تراش + سیتیر	۱۲

یافته‌ها

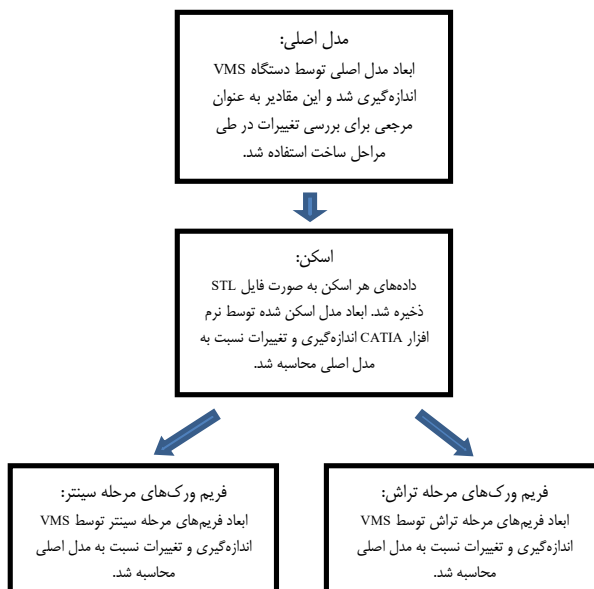
در تمام مراحل ساخت تغییرات ارتفاع پره مولر نسبت به کائین بیشتر بود ($P < 0.01$), اما در بقیه مواد تقاضوت معنی‌داری بین دو ابامنت دیده نشد ($P > 0.05$). در تمام ابعاد، تغییرات در مرحله تراش بیشتر از دو مرحله دیگر به دست آمد، اما این تقاضوت در مورد ارتفاع ابامنت دیده نشد. تغییرات قطر مزبودیستال ($P = 0.005$)، و ارتفاع ($P = 0.001$) ابامنت پره مولر در مرحله سیتر از مرحله اسکن کمتر بود اما در بقیه مواد اختلاف معنی‌داری بین مراحل مشاهده نشد ($P > 0.05$). اطلاعات توصیفی و مقایسه‌ای بین گروه‌ها در جداول ۲ و ۳ بیان شده‌اند.

بحث و نتیجه‌گیری

در این مطالعه تأثیر دو فاکتور اندازه ابامنت و مراحل ساخت بر تغییرات ابعادی فریم ورک‌های زیرکوینیایی مورد بررسی قرار گرفت. طبق نتایج به دست آمده، هر دو عامل مراحل ساخت و اندازه ابامنت بر میزان تغییرات ابعادی فریم ورک‌های زیرکوینیایی باشند. با وجود اینکه مطالعات زیادی دقت نهایی فریم ورک‌های زیرکوینیایی ساخته شده توسط دستگاه‌های مختلف CAD/CAM را مقایسه نموده‌اند، با توجه به بررسی‌های صورت گرفته به نظر می‌رسد در مطالعات گذشته خطاهای هر یک از مراحل ساخت (اسکن، تراش و سیتر) به تفکیک بررسی نشده و مشخص نشده است که در هر سیستم، بیشترین میزان خطای کدام یک از مراحل ساخت اتفاق می‌افتد. البته در تعدادی از مطالعات گذشته به مقایسه تطابق داخلی و گپ مارژینال فریم ورک‌هایی که از بلوک زیرکوینیایی در دو فاز متفاوت (کاملاً سیتر یا نیمه سیتر) تراشیده شده‌اند، پرداخته شده است (۱۷). به این ترتیب در این مطالعات تراش فریم در ابعاد واقعی (از بلوک کاملاً سیتر شده)، با تراش در اندازه بزرگتر (از بلوک نیمه سیتر) و انجام مرحله سیترینگ مقایسه شده است. با توجه به اینکه تراش زیرکوینیا در فاز کاملاً سیتر شده به علت سختی و استحکام بالاتر، دشوار بوده و تا حدی با تراش زیرکوینیای نیمه سیتر متفاوت است، شاید این ماده انتخاب مناسبی جهت شبیه سازی تراش زیرکوینیای نیمه سیتر نباشد. بدین جهت در مطالعه حاضر برای بررسی خطاهای مرحله تراش (مستقل از خطاهای ناشی از انقباض سیترینگ)، از تراش زیرکوینیای



شکل ۲- مناطق اندازه‌گیری شده؛ ابعاد ابامنت‌ها شامل: ارتفاع (height)، قطر باکولینگوال (BL Diameter) که در تصویر دیده نمی‌شود و قطر مزبودیستال (MD Diameter)، هر یک از ابامنت‌های کائین (Can) و پره مولر (Pre) و فاصله ابامنت‌ها شامل: فاصله داخل-داخل (In-In) و فاصله خارج-خارج (Ex-Ex) می‌باشد.



شکل ۳- روشن آندازه‌گیری تغییرات ابعادی

تأثیر دو فاکتور (مراحل ساخت و نوع ابامنت) بر میزان تغییرات ابعادی فریم ورک توسط Two-Way ANOVA ارزیابی شد. در صورتی که Interaction بین فاکتورها معنی‌دار بود، هر بار با حذف یک فاکتور آنالیز مناسب انجام شد و در صورتی که در تمام مراحل معنی‌دار بود، اثر تمام فاکتورها یک به یک بررسی شد. از Paired t test (برای بررسی اثر اندازه ابامنت) و از Repeated measures ANOVA (برای بررسی تأثیر مراحل ساخت) استفاده شد. حد معنی‌داری آماری 0.05 در نظر گرفته شد.

جدول ۲- تأثیر مراحل ساخت و اندازه اباقامنت بر تغییرات ابعاد اباقامنت‌ها

P-value	اباقامنت	مقایسه	P-value	میانگین ± انحراف معیار		مراحل ساخت	ابعاد اباقامنت‌ها
				پره مولر	پره مولر		
<0.001*	پره مولر	با تراش	0.006	0.027 ± 0.013	0.046 ± 0.01	اسکن	قطر مزیودستال
<0.001*	کائین						
0.005*	پره مولر	با سیتر	0.387	0.16 ± 0.084	0.172 ± 0.059	تراش	قطر باکولینگوال
1/000	کائین						
<0.001*	پره مولر	با تراش	0.686	0.027 ± 0.016	0.024 ± 0.015	سیتر	سیتر
<0.001*	کائین						
<0.001*	پره مولر	با تراش	0.184	0.028 ± 0.014	0.04 ± 0.039	اسکن	تراش
<0.001*	کائین						
1/000	پره مولر	با سیتر	0.114	0.153 ± 0.072	0.172 ± 0.083	تراش	ارتفاع
1/000	کائین						
<0.001*	پره مولر	با تراش	0.502	0.024 ± 0.017	0.029 ± 0.022	سیتر	سیتر
<0.001*	کائین						
0.069	پره مولر	با تراش	<0.001*	0.071 ± 0.027	0.165 ± 0.025	اسکن	تراش
1/000	کائین						
<0.001*	پره مولر	با سیتر	<0.001*	0.077 ± 0.049	0.18 ± 0.029	تراش	ارتفاع
0.054	کائین						
<0.001*	پره مولر	با تراش	<0.001*	0.05 ± 0.033	0.103 ± 0.027	سیتر	سیتر
0/531	کائین						

جدول ۳- تأثیر مراحل ساخت بر فاصله بین اباقامنت‌ها

P-value	مقایسه	میانگین ± انحراف معیار			فاصله بین اباقامنت‌ها
		سیتر	تراش	اسکن	
<0.001*	اسکن با تراش				خارج- خارج
<0.001*	اسکن با سیتر	0.02 ± 0.016	0.144 ± 0.073	0.035 ± 0.027	
0.004*	تراش با سیتر				
<0.001*	اسکن با تراش				داخل- داخل
0.235	اسکن با سیتر	0.164 ± 0.078	0.164 ± 0.078	0.28 ± 0.017	
<0.001*	تراش با سیتر				

بررسی شده است (۲۵-۲۹). در مطالعه حاضر نیز با توجه به اینکه تغییرات ابعادی در مرحله اسکن نیز مورد بررسی قرار گرفت. در مطالعات گذشته، روش‌های متفاوتی از جمله رپلیکای سیلیکونی، برش زدن فریم پس از سمان کردن، و میکرو سی تی جهت بررسی تطابق فریم ورک‌ها استفاده شده است (۹، ۱۲، ۱۸-۲۱). در تعدادی از مطالعات، برای بررسی تطابق فریم‌های ایمپلنتی از استرین گیج استفاده شده است (۲۲-۲۴). در مورد فریم‌های تمام قوس ایمپلنتی، اغلب تغییرات ابعادی فریم نسبت به مدل اصلی، در هر یک از محورهای x، y و z

فرزهای تراش وابسته است و امکان ایجاد جزئیاتی که کوچکتر از قطر فرزهای تراش هستند وجود ندارد^(۳۲، ۳۳)، می‌توان انتظار داشت که تراش فریم ورک در ابعاد حقیقی، نسبت به تراش آن در ابعاد بزرگتر (با احتساب ۲۰-۳۰ درصد انقباض سیترینگ) نیاز به دقت بالاتری داشته و امکان خطای آن بیشتر باشد. این مسئله به دقت قسمت تراش هر سیستم CAD/CAM وابسته است و بنابراین در هر سیستم ممکن است نتایج با سیستم دیگر متفاوت باشد. همان طور که قبلًاً اشاره شد میزان خطا در مرحله تراش به توانایی هر سیستم در تراش فریم در ابعاد حقیقی (که به علت اندازه کوچکتر نیازمند دقت بالاتری است) بستگی دارد و میزان خطای مرحله سیتر به کارایی نرم افزارهای CAD برای تخمین میزان انقباض حین سیترینگ و هموژن بودن بلوك زیرکونیایی نیمه سیتر وابسته است.

با وجود محدودیت‌های این مطالعه به نظر می‌رسد، مراحل ساخت و نیز اندازه ابامنت بر میزان تغییرات ابعادی فریم ورک‌های Zirkonzahn CAD/CAM زیرکونیایی ساخته شده توسط سیستم تراش اتفاق می‌افتد و میزان تغییرات ارتفاع ابامنت کوتاه‌تر (پره مولر) بیشتر می‌باشد.

تشکر و قدردانی

این مقاله منتج از طرح تحقیقاتی به شماره ۹۴-۰۲-۷۰-۲۸۲۲۷ و پایان نامه تخصصی به شماره ۸۳۶ مصوب مرکز تحقیقات دانشکده دندانپزشکی دانشگاه علوم پزشکی تهران می‌باشد.

کافی‌تر بود. شاید بتوان تغییرات ارتفاع (عمق) فریم‌ها را، با فاصله اکلوزالی (عدم تطابق داخلی در سطح اکلوزال) سایر مطالعات مقایسه کرد. در مطالعه حاضر میزان این خطأ در ابامنت کوتاه و قطعه‌تر (پره مولر) بیشتر بود. این یافته، با نتایج مطالعات Moldovan و همکاران^(۳۰) و همکاران^(۳۱) Anunmana و Grenade مطابقت دارد. در این مطالعات میزان فاصله (عدم تطابق) اکلوزال ابامنت‌های پره مولر و مولر با یکدیگر مقایسه شده است و میزان خطای بیشتری در ابامنت مولر (که نسبت به ابامنت دیگر، قطر بیشتر و طول کوتاه‌تر دارد) مشاهده شده است.

طبق نتایج این مطالعه در سیستم Zirkonzahn تغییرات ابعادی در مرحله تراش از دو مرحله دیگر بیشتر بود و در مورد قطر مزیولینگوال و ارتفاع، کمترین تغییرات در مرحله سیتر مشاهده شد. به طور کلی بیشترین خطأ مربوط به مرحله تراش و کمترین خطأ (به جز در ارتباط با فاصله خارج-خارج) مربوط به مرحله سیتر بوده است و به نظر می‌رسد در این سیستم مقداری از خطاهای مراحل قبل (حتی اسکن)، پس از سیترینگ جبران شده است.

Mormann و Bindl^(۸) در مطالعه‌ای، تطابق داخلی فریم ورک‌های حاصل از تراش زیرکونیای نیمه سیتر و کاملاً سیتر را مقایسه کرده و مشاهده کردند که تراش بلوك زیرکونیا در ابعاد واقعی (از بلوك کاملاً سیتر) منجر به خطأ و عدم تطابق داخلی بیشتر شده است. نتیجه این مطالعه، در راستای یافته‌های مطالعه حاضر می‌باشد، زیرا تغییرات ابعاد فریم ورک‌ها در مرحله تراش بیشتر از مرحله سیتر بوده است. با توجه به اینکه دقت مرحله تراش به میزان زیادی به اندازه

منابع:

- 1- Erkmen E, Meric G, Kurt A, Tunc Y, Eser A. Biomechanical comparison of implant retained fixed partial dentures with fiber reinforced composite versus conventional metal frameworks: a 3D FEA study. *J Mech Behav Biomed Mater.* 2011;4(1):107-16.
- 2- Pietrabissa R, Contro R, Quaglini V, Soncini M, Gionso L, Simion M. Experimental and computational approach for the evaluation of the biomechanical effects of dental bridge misfit. *J Biomech.* 2000;33(11):1489-95.
- 3- Abduo J, Bennani V, Waddell N, Lyons K, Swain M. Assessing the fit of implant fixed prostheses: a critical review. *Int J Oral Maxillofac Implants.* 2010;25(3):506-15.
- 4- Romero GG, Engelmeier R, Powers JM, Canterbury AA. Accuracy of three corrective techniques for implant bar fabrication. *J Prosthet Dent.* 2000;84(6):602-7.
- 5- Sahin S, Cehreli MC, Yalcin E. The influence of functional forces on the biomechanics of implant-supported prostheses-a review. *J Dent.* 2002;30(7-8):271-82.
- 6- Schwarz MS. Mechanical complications of dental implants. *Clin Oral Implants Res.* 2000;11 Suppl 1:156-8.
- 7- Beuer F, Schweiger J, Edelhoff D. Digital dentistry: an overview of recent developments for CAD/CAM generated restorations. *Br Dent J.* 2008;204(9):505-11.
- 8- Bindl A, Mormann WH. Fit of all-ceramic posterior fixed partial denture frameworks in vitro. *Int J Periodontics Restorative Dent.* 2007;27(6):567-75.
- 9- Att W, Komine F, Gerds T, Strub JR. Marginal adaptation of three different zirconium dioxide three-unit fixed dental prostheses. *J Prosthet Dent.* 2009;101(4):239-47.
- 10- Gonzalo E, Suarez MJ, Serrano B, Lozano JF. A

- comparison of the marginal vertical discrepancies of zirconium and metal ceramic posterior fixed dental prostheses before and after cementation. *J Prosthet Dent.* 2009;102(6):378-84.
- 11-** Karatasli O, Kursoglu P, Capa N, Kazazoglu E. Comparison of the marginal fit of different coping materials and designs produced by computer aided manufacturing systems. *Dent Mater J.* 2011;30(1):97-102.
- 12-** Kohorst P, Brinkmann H, Dittmer MP, Borchers L, Stiesch M. Influence of the veneering process on the marginal fit of zirconia fixed dental prostheses. *J Oral Rehabil.* 2010;37(4):283-91.
- 13-** Kohorst P, Brinkmann H, Li J, Borchers L, Stiesch M. Marginal accuracy of four-unit zirconia fixed dental prostheses fabricated using different computer-aided design/computer-aided manufacturing systems. *Eur J Oral Sci.* 2009;117(3):319-25.
- 14-** Vigolo P, Fonzi F. An in vitro evaluation of fit of zirconium-oxide-based ceramic four-unit fixed partial dentures, generated with three different CAD/CAM systems, before and after porcelain firing cycles and after glaze cycles. *J Prosthodont.* 2008;17(8):621-6.
- 15-** Bacchi A, Consani RL, Mesquita MF, dos Santos MB. Stress distribution in fixed-partial prosthesis and peri-implant bone tissue with different framework materials and vertical misfit levels: a three-dimensional finite element analysis. *J Oral Sci.* 2013; 55(3):239-44.
- 16-** Pak HS, Han JS, Lee JB, Kim SH, Yang JH. Influence of porcelain veneering on the marginal fit of Digident and Lava CAD/CAM zirconia ceramic crowns. *J Adv Prosthodont.* 2010;2(2):33-8.
- 17-** Prasad R, Al-Kheraif AA. Three-dimensional accuracy of CAD/CAM titanium and ceramic superstructures for implant abutments using spiral scan microtomography. *Int J Prosthodont.* 2013;26(5):451-7.
- 18-** Aboushelib MN, Elmahy WA, Ghazy MH. Internal adaptation, marginal accuracy and microléakage of a pressable versus a machinable ceramic laminate veneers. *J Dent.* 2012;40(8):670-7.
- 19-** Matta RE, Schmitt J, Wichmann M, Holst S. Circumferential fit assessment of CAD/CAM single crowns--a pilot investigation on a new virtual analytical protocol. *Quintessence Int.* 2012;43(9):801-9.
- 20-** Moldovan O, Luthardt RG, Corcodel N, Rudolph H. Three-dimensional fit of CAD/CAM-made zirconia copings. *Dent Mater.* 2011;27(12):1273-8.
- 21-** Rungruangununt P, Kelly JR, Adams DJ. Two imaging techniques for 3D quantification of pre-cementation space for CAD/CAM crowns. *J Dent.* 2010;38(12):995-1000.
- 22-** Abduo J, Lyons K, Waddell N, Bennani V, Swain M. A comparison of fit of CNC-milled titanium and zirconia frameworks to implants. *Clin Implant Dent Relat Res.* 2012;14 Suppl 1:e20-9.
- 23-** Karl M, Graef F, Wichmann M, Krafft T. Passivity of fit of CAD/CAM and copy-milled frameworks, veneered frameworks, and anatomically contoured, zirconia ceramic, implant-supported fixed prostheses. *J Prosthet Dent.* 2012;107(4):232-8.
- 24-** Karl M, Taylor TD. Effect of material selection on the passivity of fit of implant-supported restorations created with computer-aided design/computer-assisted manufacture. *Int J Oral Maxillofac Implants.* 2011;26(4):739-45.
- 25-** Al-Fadda SA, Zarb GA, Finer Y. A comparison of the accuracy of fit of 2 methods for fabricating implant-prosthodontic frameworks. *Int J Prosthodont.* 2007;20(2):125-31.
- 26-** Almasri R, Drago CJ, Siegel SC, Hardigan PC. Volumetric misfit in CAD/CAM and cast implant frameworks: a university laboratory study. *J Prosthodont.* 2011;20(4):267-74.
- 27-** Hjalmarsson L, Ortorp A, Smedberg JI, Jemt T. Precision of fit to implants: a comparison of Cresco and Procera (R) implant bridge frameworks. *Clin Implant Dent Relat Res.* 2010;12(4):271-80.
- 28-** Jemt T, Back T, Petersson A. Precision of CNC-milled titanium frameworks for implant treatment in the edentulous jaw. *Int J Prosthodont.* 1999;12(3):209-15.
- 29-** Sierraalta M, Vivas JL, Razzoog ME, Wang RF. Precision of fit of titanium and cast implant frameworks using a new matching formula. *Int J Dent.* 2012;2012:374315.
- 30-** Anunmana C, Charoenchitt M, Asvanund C. Gap comparison between single crown and three-unit bridge zirconia substructures. *J Adv Prosthodont.* 2014;6(4):253-8.
- 31-** Grenade C, Mainjot A, Vanheusden A. Fit of single tooth zirconia copings: comparison between various manufacturing processes. *J Prosthet Dent.* 2011;105(4):249-55.
- 32-** Bornemann G, Lemelson S, Luthardt R. Innovative method for the analysis of the internal 3D fitting accuracy of Cerec-3 crowns. *Int J Comput Dent.* 2002;5(2-3):177-82.
- 33-** Tinschert J, Natt G, Hassenpflug S, Spiekermann H. Status of current CAD/CAM technology in dental medicine. *Int J Comput Dent.* 2004;7(1):25-45.